

Opérateurs aléatoires et périodiques en dimension 1 : Estimées de décorrélations et Résonances

Trịnh Tuấn Phong
sous la direction de Frédéric Klopp, IMJ, UPMC

Laboratoire Analyse, Géométrie & Applications
Université Paris 13

15 Septembre 2015

Soutenance de thèse,
LAGA, Université Paris 13

Contents

Opérateur aléatoire discret avec désordre hors diagonal en dimension 1

Deux inégalités importantes

Régime localisé

Statistique locale des niveaux

Résultats pour le modèle présent

Remarques

Opérateurs de Schrödinger périodique

Équation de résonance

Résultats connus précédemment

Asymptotiques des paramètres spectraux

Cas générique

en dessous de $\Sigma_{\mathbb{Z}}$

en dessous de $\mathbb{R} \setminus \Sigma_{\mathbb{N}}$

Cas non-générique

Équation de résonances rééchelonnées

Zones de non résonances

Existence de résonances

Questions ouvertes



Opérateur aléatoire discret avec désordre hors diagonal en dimension 1

Soit $u = \{u(n)\}_{n \in \mathbb{Z}} \in \ell^2(\mathbb{Z})$. On définit

$$(H_\omega u)(n) = \omega_n(u(n) - u(n+1)) + \omega_{n-1}(u(n) - u(n-1))$$

$\{\omega_n\}_{n \in \mathbb{Z}}$: une suite de variables aléatoires i.i.d. qui possède une densité ρ bornée et à support compact.

$\text{essRan } \omega_n = [\alpha_0, \beta_0] \quad \forall n \in \mathbb{Z}$ où $\alpha_0, \beta_0 > 0$.

Quelques faits importants :

Spectre presque sûr : ω -p.s., $\sigma(H_\omega) = \Sigma := [0, 4\beta_0]$.

Densité d'états intégrée $N(E)$: ω -p.s., on a

$$N(E) := \lim_{|\Lambda| \rightarrow +\infty} \frac{\#\{\text{v.ps de } H_\omega(\Lambda) \text{ inférieure à } E\}}{|\Lambda|} \quad \forall E$$

où $H_\omega(\Lambda)$ est H_ω restreint à un "cube" $\Lambda \subset \mathbb{Z}$ avec des conditions périodiques au bord.

Densité d'états $\nu(E)$: $N(E)$ possède une dérivée $\nu(E)$ appelée la densité d'états de H_ω .



Opérateur aléatoire discret avec désordre hors diagonal en dimension 1

Soit $u = \{u(n)\}_{n \in \mathbb{Z}} \in \ell^2(\mathbb{Z})$. On définit

$$(H_\omega u)(n) = \omega_n(u(n) - u(n+1)) + \omega_{n-1}(u(n) - u(n-1))$$

$\{\omega_n\}_{n \in \mathbb{Z}}$: une suite de variables aléatoires i.i.d. qui possède une densité ρ bornée et à support compact.

$\text{essRan } \omega_n = [\alpha_0, \beta_0] \quad \forall n \in \mathbb{Z}$ où $\alpha_0, \beta_0 > 0$.

Quelques faits importants :

Spectre presque sûr : ω -p.s., $\sigma(H_\omega) = \Sigma := [0, 4\beta_0]$.

Densité d'états intégrée $N(E)$: ω -p.s., on a

$$N(E) := \lim_{|\Lambda| \rightarrow +\infty} \frac{\#\{\text{v.ps de } H_\omega(\Lambda) \text{ inférieure à } E\}}{|\Lambda|} \quad \forall E$$

où $H_\omega(\Lambda)$ est H_ω restreint à un "cube" $\Lambda \subset \mathbb{Z}$ avec des conditions périodiques au bord.

Densité d'états $\nu(E)$: $N(E)$ possède une dérivée $\nu(E)$ appelée la densité d'états de H_ω .



Opérateur aléatoire discret avec désordre hors diagonal en dimension 1

Soit $u = \{u(n)\}_{n \in \mathbb{Z}} \in \ell^2(\mathbb{Z})$. On définit

$$(H_\omega u)(n) = \omega_n(u(n) - u(n+1)) + \omega_{n-1}(u(n) - u(n-1))$$

$\{\omega_n\}_{n \in \mathbb{Z}}$: une suite de variables aléatoires i.i.d. qui possède une densité ρ bornée et à support compact.

$\text{essRan } \omega_n = [\alpha_0, \beta_0] \quad \forall n \in \mathbb{Z}$ où $\alpha_0, \beta_0 > 0$.

Quelques faits importants :

Spectre presque sûr : ω -p.s., $\sigma(H_\omega) = \Sigma := [0, 4\beta_0]$.

Densité d'états intégrée $N(E)$: ω -p.s., on a

$$N(E) := \lim_{|\Lambda| \rightarrow +\infty} \frac{\#\{\text{v.ps de } H_\omega(\Lambda) \text{ inférieure à } E\}}{|\Lambda|} \quad \forall E$$

où $H_\omega(\Lambda)$ est H_ω restreint à un "cube" $\Lambda \subset \mathbb{Z}$ avec des conditions périodiques au bord.

Densité d'états $\nu(E)$: $N(E)$ possède une dérivée $\nu(E)$ appelée la densité d'états de H_ω .



Opérateur aléatoire discret avec désordre hors diagonal en dimension 1

Soit $u = \{u(n)\}_{n \in \mathbb{Z}} \in \ell^2(\mathbb{Z})$. On définit

$$(H_\omega u)(n) = \omega_n(u(n) - u(n+1)) + \omega_{n-1}(u(n) - u(n-1))$$

$\{\omega_n\}_{n \in \mathbb{Z}}$: une suite de variables aléatoires i.i.d. qui possède une densité ρ bornée et à support compact.

$\text{essRan } \omega_n = [\alpha_0, \beta_0] \quad \forall n \in \mathbb{Z}$ où $\alpha_0, \beta_0 > 0$.

Quelques faits importants :

Spectre presque sûr : ω -p.s., $\sigma(H_\omega) = \Sigma := [0, 4\beta_0]$.

Densité d'états intégrée $N(E)$: ω -p.s., on a

$$N(E) := \lim_{|\Lambda| \rightarrow +\infty} \frac{\#\{\text{v.ps de } H_\omega(\Lambda) \text{ inférieure à } E\}}{|\Lambda|} \quad \forall E$$

où $H_\omega(\Lambda)$ est H_ω restreint à un "cube" $\Lambda \subset \mathbb{Z}$ avec des conditions périodiques au bord.

Densité d'états $\nu(E)$: $N(E)$ possède une dérivée $\nu(E)$ appelée la densité d'états de H_ω .

Deux inégalités importantes

L'estimée de Wegner (W) :

$$\mathbb{P}(\text{dist}(E, \sigma(H_\omega(\Lambda))) \leq \epsilon) \leq \frac{2\|s\rho(s)\|_\infty}{E - \epsilon} \epsilon |\Lambda|$$

quel que soit le cube $\Lambda \subset \mathbb{Z}$ et $0 < \epsilon < E$.

L'estimée de Minami (M) :

$$\mathbb{P}(\#\{\sigma(H_\omega(\Lambda)) \cap J\} \geq 2) \leq C(|J||\Lambda|)^2 / 2a^2$$

pour tout $J = [a, b] \subset (0, +\infty)$, et $\Lambda \subset \mathbb{Z}$.

Remarque

(W) et (M) ne sont pas valables à l'énergie 0 (le bord inférieur du spectre presque sûr Σ).

Deux inégalités importantes

L'estimée de Wegner (W) :

$$\mathbb{P}(\text{dist}(E, \sigma(H_\omega(\Lambda))) \leq \epsilon) \leq \frac{2\|s\rho(s)\|_\infty}{E - \epsilon} \epsilon |\Lambda|$$

quel que soit le cube $\Lambda \subset \mathbb{Z}$ et $0 < \epsilon < E$.

L'estimée de Minami (M) :

$$\mathbb{P}(\#\{\sigma(H_\omega(\Lambda)) \cap J\} \geq 2) \leq C(|J||\Lambda|)^2 / 2a^2$$

pour tout $J = [a, b] \subset (0, +\infty)$, et $\Lambda \subset \mathbb{Z}$.

Remarque

(W) et (M) ne sont pas valables à l'énergie 0 (le bord inférieur du spectre presque sûr Σ).



Deux inégalités importantes

L'estimée de Wegner (W) :

$$\mathbb{P}(\text{dist}(E, \sigma(H_\omega(\Lambda))) \leq \epsilon) \leq \frac{2\|s\rho(s)\|_\infty}{E - \epsilon} \epsilon |\Lambda|$$

quel que soit le cube $\Lambda \subset \mathbb{Z}$ et $0 < \epsilon < E$.

L'estimée de Minami (M) :

$$\mathbb{P}(\#\{\sigma(H_\omega(\Lambda)) \cap J\} \geq 2) \leq C(|J||\Lambda|)^2 / 2a^2$$

pour tout $J = [a, b] \subset (0, +\infty)$, et $\Lambda \subset \mathbb{Z}$.

Remarque (W) et (M) ne sont pas valables à l'énergie 0 (le bord inférieur du spectre presque sûr Σ).

Régime localisé

Régime localisé : L'endroit où le spectre de H_ω est purement ponctuel et les fonctions propres associées sont exp. déc. à l'infini.

Théorème [Aizemann, Schenker, Friedrich et Hundertmark '01]

(Loc) : Il existe $\nu > 0$ tel que pour tout $p > 0$, il existe $q > 0$ et $L_0 > 0$ tels que, pour $L \geq L_0$, avec une prob. supérieure à $1 - L^{-p}$, si

- $\varphi_{n,\omega}$ est un **vecteur propre normalisé** de $H_\omega(\Lambda_L)$ associé à une **valeur propre** $E_{n,\omega}$ dans le **régime localisé**.
- $x_{n,\omega} \in \Lambda_L$ est un maximum de $x \mapsto |\varphi_{n,\omega}(x)|$ dans Λ_L ,

Alors, pour $x \in \Lambda_L$, on a

$$|\varphi_{n,\omega}(x)| \leq L^q e^{-\nu|x-x_{n,\omega}|}$$

The point $x_{n,\omega}$ est appelé un **centre de localisation** de $\varphi_{n,\omega}$ ou $E_{n,\omega}$.

Régime localisé

Régime localisé : L'endroit où le spectre de H_ω est purement ponctuel et les fonctions propres associées sont exp. déc. à l'infini.

Théorème [Aizemann, Schenker, Friedrich et Hundertmark '01]

(Loc) : Il existe $\nu > 0$ tel que pour tout $p > 0$, il existe $q > 0$ et $L_0 > 0$ tels que, pour $L \geq L_0$, avec une prob. supérieure à $1 - L^{-p}$, si

- $\varphi_{n,\omega}$ est un **vecteur propre normalisé** de $H_\omega(\Lambda_L)$ associé à une **valeur propre** $E_{n,\omega}$ dans le **régime localisé**.
- $x_{n,\omega} \in \Lambda_L$ est un maximum de $x \mapsto |\varphi_{n,\omega}(x)|$ dans Λ_L ,

Alors, pour $x \in \Lambda_L$, on a

$$|\varphi_{n,\omega}(x)| \leq L^q e^{-\nu|x-x_{n,\omega}|}$$

The point $x_{n,\omega}$ est appelé un **centre de localisation** de $\varphi_{n,\omega}$ ou $E_{n,\omega}$.

Contents

Opérateur aléatoire discret avec désordre hors diagonal en dimension 1

Deux inégalités importantes

Régime localisé

Statistique locale des niveaux

Résultats pour le modèle présent

Remarques

Opérateurs de Schrödinger périodique

Équation de résonance

Résultats connus précédemment

Asymptotiques des paramètres spectraux

Cas générique

en dessous de $\Sigma_{\mathbb{Z}}$

en dessous de $\mathbb{R} \setminus \Sigma_{\mathbb{N}}$

Cas non-générique

Équation de résonances rééchelonnées

Zones de non résonances

Existence de résonances

Questions ouvertes

Statistique locale des niveaux

Soit $\Lambda = [-L, L]$ un cube dans \mathbb{Z} et E une énergie positive dans le régime localisé.

Supposons que $E_1(\omega, \Lambda) \leq E_2(\omega, \Lambda) \leq \dots \leq E_{|\Lambda|}(\omega, \Lambda)$ sont les valeurs propres de $H_\omega(\Lambda)$.

Niveaux renormalisés en E :

$$\xi_n(E, \omega, \Lambda) = |\Lambda| \nu(E) (E_n(\omega, \Lambda) - E)$$

Processus ponctuel :

$$\Sigma(\xi, E, \omega, \Lambda) = \sum_{n=1}^{|\Lambda|} \delta_{\xi_n}(E, \omega, \Lambda)(\xi)$$

Théorème [Germinet-Klopp'12, Miao'11]

- Soit E une énergie positive dans le régime localisé t.q. $\nu(E) > 0$.
- Alors, quand $|\Lambda| \rightarrow +\infty$, $\Sigma(\xi, E, \omega, \Lambda) \rightarrow$ un processus de Poisson sur \mathbb{R} de densité la mesure de Lebesgue.

Statistique locale des niveaux

Soit $\Lambda = [-L, L]$ un cube dans \mathbb{Z} et E une énergie positive dans le régime localisé.

Supposons que $E_1(\omega, \Lambda) \leq E_2(\omega, \Lambda) \leq \dots \leq E_{|\Lambda|}(\omega, \Lambda)$ sont les valeurs propres de $H_\omega(\Lambda)$.

Niveaux renormalisés en E :

$$\xi_n(E, \omega, \Lambda) = |\Lambda| \nu(E) (E_n(\omega, \Lambda) - E)$$

Processus ponctuel :

$$\Sigma(\xi, E, \omega, \Lambda) = \sum_{n=1}^{|\Lambda|} \delta_{\xi_n}(E, \omega, \Lambda)(\xi)$$

Théorème [Germinet-Klopp'12, Miao'11]

- Soit E une énergie positive dans le régime localisé t.q. $\nu(E) > 0$.
- Alors, quand $|\Lambda| \rightarrow +\infty$, $\Sigma(\xi, E, \omega, \Lambda) \rightarrow$ un processus de Poisson sur \mathbb{R} de densité la mesure de Lebesgue.

Statistique locale des niveaux

Soit $\Lambda = [-L, L]$ un cube dans \mathbb{Z} et E une énergie positive dans le régime localisé.

Supposons que $E_1(\omega, \Lambda) \leq E_2(\omega, \Lambda) \leq \dots \leq E_{|\Lambda|}(\omega, \Lambda)$ sont les valeurs propres de $H_\omega(\Lambda)$.

Niveaux renormalisés en E :

$$\xi_n(E, \omega, \Lambda) = |\Lambda| \nu(E) (E_n(\omega, \Lambda) - E)$$

Processus ponctuel :

$$\Sigma(\xi, E, \omega, \Lambda) = \sum_{n=1}^{|\Lambda|} \delta_{\xi_n}(E, \omega, \Lambda)(\xi)$$

Théorème [Germinet-Klopp'12, Miao'11]

- Soit E une énergie positive dans le régime localisé t.q. $\nu(E) > 0$.
- Alors, quand $|\Lambda| \rightarrow +\infty$, $\Sigma(\xi, E, \omega, \Lambda) \rightarrow$ un processus de Poisson sur \mathbb{R} de densité la mesure de Lebesgue.



Statistique locale des niveaux

Soit $\Lambda = [-L, L]$ un cube dans \mathbb{Z} et E une énergie positive dans le régime localisé.

Supposons que $E_1(\omega, \Lambda) \leq E_2(\omega, \Lambda) \leq \dots \leq E_{|\Lambda|}(\omega, \Lambda)$ sont les valeurs propres de $H_\omega(\Lambda)$.

Niveaux renormalisés en E :

$$\xi_n(E, \omega, \Lambda) = |\Lambda| \nu(E) (E_n(\omega, \Lambda) - E)$$

Processus ponctuel :

$$\Sigma(\xi, E, \omega, \Lambda) = \sum_{n=1}^{|\Lambda|} \delta_{\xi_n}(E, \omega, \Lambda)(\xi)$$

Théorème [Germinet-Klopp'12, Miao'11]

- Soit E une énergie positive dans le régime localisé t.q. $\nu(E) > 0$.
- Alors, quand $|\Lambda| \rightarrow +\infty$, $\Sigma(\xi, E, \omega, \Lambda) \rightarrow$ un processus de Poisson sur \mathbb{R} de densité la mesure de Lebesgue.

Statistique locale des niveaux (suite)

Considérons deux limites de $\Sigma(\xi, E, \omega, \Lambda), \Sigma(\xi, E', \omega, \Lambda)$ pour $E \neq E'$.

- Sont-elles indépendantes? C'est à dire, quand $|\Lambda| \rightarrow +\infty$, les deux processus ci-dessus convergent-ils faiblement vers deux processus de Poisson indépendants?
- Oui pour le modèle d'Anderson discret :

Théorème (Pour le modèle d'Anderson, [Klopp'11])

- Soient $E \neq E'$ dans le régime localisé t.q. $\nu(E) > 0, \nu(E') > 0$.
- Alors, pour $U_+ \subset \mathbb{R}$ et $U_- \subset \mathbb{R}$ intervalles compacts et $\{k_+, k_-\} \in \mathbb{N}^2$, on a

$$\mathbb{P} \left\{ \begin{array}{l} \#\{j; \xi_j(E, \omega, \Lambda) \in U_+\} = k_+ \\ \#\{j; \xi_j(E', \omega, \Lambda) \in U_-\} = k_- \end{array} \right\} \xrightarrow{\Lambda \rightarrow \mathbb{Z}} e^{-|U_+|} \frac{|U_+|^{k_+}}{k_+!} e^{-|U_-|} \frac{|U_-|^{k_-}}{k_-!}$$

- Ce théorème est une conséquence des **estimées de décorrélation**.

Statistique locale des niveaux (suite)

Considérons deux limites de $\Sigma(\xi, E, \omega, \Lambda), \Sigma(\xi, E', \omega, \Lambda)$ pour $E \neq E'$.

- Sont-elles indépendantes? C'est à dire, quand $|\Lambda| \rightarrow +\infty$, les deux processus ci-dessus convergent-ils faiblement vers deux processus de Poisson indépendants?
- Oui pour le modèle d'Anderson discret :

Théorème (Pour le modèle d'Anderson, [Klopp'11])

- Soient $E \neq E'$ dans le régime localisé t.q. $\nu(E) > 0, \nu(E') > 0$.
- Alors, pour $U_+ \subset \mathbb{R}$ et $U_- \subset \mathbb{R}$ intervalles compacts et $\{k_+, k_-\} \in \mathbb{N}^2$, on a

$$\mathbb{P} \left\{ \begin{array}{l} \#\{j; \xi_j(E, \omega, \Lambda) \in U_+\} = k_+ \\ \#\{j; \xi_j(E', \omega, \Lambda) \in U_-\} = k_- \end{array} \right\} \xrightarrow{\Lambda \rightarrow \mathbb{Z}} e^{-|U_+|} \frac{|U_+|^{k_+}}{k_+!} e^{-|U_-|} \frac{|U_-|^{k_-}}{k_-!}$$

- Ce théorème est une conséquence des **estimées de décorrélation**.

Statistique locale des niveaux (suite)

Considérons deux limites de $\Sigma(\xi, E, \omega, \Lambda), \Sigma(\xi, E', \omega, \Lambda)$ pour $E \neq E'$.

- Sont-elles indépendantes? C'est à dire, quand $|\Lambda| \rightarrow +\infty$, les deux processus ci-dessus convergent-ils faiblement vers deux processus de Poisson indépendants?
- Oui pour le modèle d'Anderson discret :

Théorème (Pour le modèle d'Anderson, [Klopp'11])

- Soient $E \neq E'$ dans le régime localisé t.q. $\nu(E) > 0, \nu(E') > 0$.
- Alors, pour $U_+ \subset \mathbb{R}$ et $U_- \subset \mathbb{R}$ intervalles compacts et $\{k_+, k_-\} \in \mathbb{N}^2$, on a

$$\mathbb{P} \left\{ \begin{array}{l} \#\{j; \xi_j(E, \omega, \Lambda) \in U_+\} = k_+ \\ \#\{j; \xi_j(E', \omega, \Lambda) \in U_-\} = k_- \end{array} \right\} \xrightarrow{\Lambda \rightarrow \mathbb{Z}} e^{-|U_+|} \frac{|U_+|^{k_+}}{k_+!} e^{-|U_-|} \frac{|U_-|^{k_-}}{k_-!}$$

- Ce théorème est une conséquence des **estimées de décorrélation**.

Statistique locale des niveaux (suite)

Considérons deux limites de $\Sigma(\xi, E, \omega, \Lambda), \Sigma(\xi, E', \omega, \Lambda)$ pour $E \neq E'$.

- Sont-elles indépendantes? C'est à dire, quand $|\Lambda| \rightarrow +\infty$, les deux processus ci-dessus convergent-ils faiblement vers deux processus de Poisson indépendants?
- Oui pour le modèle d'Anderson discret :

Théorème (Pour le modèle d'Anderson, [Klopp'11])

- Soient $E \neq E'$ dans le régime localisé t.q. $\nu(E) > 0, \nu(E') > 0$.
- Alors, pour $U_+ \subset \mathbb{R}$ et $U_- \subset \mathbb{R}$ intervalles compacts et $\{k_+, k_-\} \in \mathbb{N}^2$, on a

$$\mathbb{P} \left\{ \begin{array}{l} \#\{j; \xi_j(E, \omega, \Lambda) \in U_+\} = k_+ \\ \#\{j; \xi_j(E', \omega, \Lambda) \in U_-\} = k_- \end{array} \right\} \xrightarrow{\Lambda \rightarrow \mathbb{Z}} e^{-|U_+|} \frac{|U_+|^{k_+}}{k_+!} e^{-|U_-|} \frac{|U_-|^{k_-}}{k_-!}$$

- Ce théorème est une conséquence des **estimées de décorrélation**.

Résultats pour le modèle étudié

Estimée de décorrélation pour l'opérateur aléatoire avec désordre hors diagonal :

Théorème [P. '14]

- Soient $\alpha \in (0, 1)$, $\beta \in (1/2, 1)$ et $E \neq E' > 0$ dans le régime localisé.
- Quand $\ell \approx L^\alpha$, on a

$$\mathbb{P} \left(\left\{ \begin{array}{l} \sigma(H_\omega(\Lambda_\ell)) \cap (E + L^{-1}(-1, 1)) \neq \emptyset \\ \sigma(H_\omega(\Lambda_\ell)) \cap (E' + L^{-1}(-1, 1)) \neq \emptyset \end{array} \right\} \right) = o \left(\frac{\ell}{L} \right)$$

Indépendance asymptotique :

Théorème [P.'14]

- Soit $n \geq 2$, on considère $\{E_j\}_{1 \leq j \leq n}$ dans le régime localisé telle que $E_j > 0$, $E_j \neq E_k \forall j \neq k$ et $\nu(E_j) > 0$ pour tout $1 \leq j \leq n$.
- Alors, quand $|\Lambda| \rightarrow +\infty$, les processus $\{\Sigma(\xi, E_j, \omega, \Lambda)\}_{1 \leq j \leq n}$ convergent faiblement vers les processus de Poisson indépendants.

Résultats pour le modèle étudié

Estimée de décorrélation pour l'opérateur aléatoire avec désordre hors diagonal :

Théorème [P. '14]

- Soient $\alpha \in (0, 1)$, $\beta \in (1/2, 1)$ et $E \neq E' > 0$ dans le régime localisé.
- Quand $\ell \approx L^\alpha$, on a

$$\mathbb{P} \left(\left\{ \begin{array}{l} \sigma(H_\omega(\Lambda_\ell)) \cap (E + L^{-1}(-1, 1)) \neq \emptyset \\ \sigma(H_\omega(\Lambda_\ell)) \cap (E' + L^{-1}(-1, 1)) \neq \emptyset \end{array} \right\} \right) = o \left(\frac{\ell}{L} \right)$$

Indépendance asymptotique :

Théorème [P.'14]

- Soit $n \geq 2$, on considère $\{E_j\}_{1 \leq j \leq n}$ dans le régime localisé telle que $E_j > 0$, $E_j \neq E_k \forall j \neq k$ et $\nu(E_j) > 0$ pour tout $1 \leq j \leq n$.
- Alors, quand $|\Lambda| \rightarrow +\infty$, les processus $\{\Sigma(\xi, E_j, \omega, \Lambda)\}_{1 \leq j \leq n}$ convergent faiblement vers les processus de Poisson indépendants.

Résultats pour le modèle étudié

Estimée de décorrélation pour l'opérateur aléatoire avec désordre hors diagonal :

Théorème [P. '14]

- Soient $\alpha \in (0, 1)$, $\beta \in (1/2, 1)$ et $E \neq E' > 0$ dans le régime localisé.
- Quand $\ell \approx L^\alpha$, on a

$$\mathbb{P} \left(\left\{ \begin{array}{l} \sigma(H_\omega(\Lambda_\ell)) \cap (E + L^{-1}(-1, 1)) \neq \emptyset \\ \sigma(H_\omega(\Lambda_\ell)) \cap (E' + L^{-1}(-1, 1)) \neq \emptyset \end{array} \right\} \right) = o \left(\frac{\ell}{L} \right)$$

Indépendance asymptotique :

Théorème [P.'14]

- Soit $n \geq 2$, on considère $\{E_j\}_{1 \leq j \leq n}$ dans le régime localisé telle que $E_j > 0$, $E_j \neq E_k \forall j \neq k$ et $\nu(E_j) > 0$ pour tout $1 \leq j \leq n$.
- Alors, quand $|\Lambda| \rightarrow +\infty$, les processus $\{\Sigma(\xi, E_j, \omega, \Lambda)\}_{1 \leq j \leq n}$ convergent faiblement vers les processus de Poisson indépendants.

Résultats pour le modèle étudié

Estimée de décorrélation pour l'opérateur aléatoire avec désordre hors diagonal :

Théorème [P. '14]

- Soient $\alpha \in (0, 1)$, $\beta \in (1/2, 1)$ et $E \neq E' > 0$ dans le régime localisé.
- Quand $\ell \approx L^\alpha$, on a

$$\mathbb{P} \left(\left\{ \begin{array}{l} \sigma(H_\omega(\Lambda_\ell)) \cap (E + L^{-1}(-1, 1)) \neq \emptyset \\ \sigma(H_\omega(\Lambda_\ell)) \cap (E' + L^{-1}(-1, 1)) \neq \emptyset \end{array} \right\} \right) = o \left(\frac{\ell}{L} \right)$$

Indépendance asymptotique :

Théorème [P.'14]

- Soit $n \geq 2$, on considère $\{E_j\}_{1 \leq j \leq n}$ dans le régime localisé telle que $E_j > 0$, $E_j \neq E_k \forall j \neq k$ et $\nu(E_j) > 0$ pour tout $1 \leq j \leq n$.
- Alors, quand $|\Lambda| \rightarrow +\infty$, les processus $\{\Sigma(\xi, E_j, \omega, \Lambda)\}_{1 \leq j \leq n}$ convergent faiblement vers les processus de Poisson indépendants.

Remarques

- Quelque soit le modèle aléatoire \mathbb{Z}^d – périodique en dimension d quelconque, (Loc), (W), (M) et (D) \implies l'indépendance asymptotique
- Notre stratégie pour prouver l'estimée de décorrélation ci-dessus est adaptable pour le modèle d'Anderson discret unidimensionnel aussi
- "Lower bound" en dimension 1 : Si u est un vecteur propre normalisé de $H_\omega(\Lambda)$, il existe un sous-intervalle $J \subset \Lambda$ de taille $O(L^\beta)$ avec $\beta \in (1/2, 1)$ t.q.

$$|u(n)|^2 + |u(n+1)|^2 \geq e^{-L^\beta/2} \text{ pour tout } n \in J$$

Remarques

- Quelque soit le modèle aléatoire \mathbb{Z}^d – périodique en dimension d quelconque, (Loc), (W), (M) et (D) \implies l'indépendance asymptotique
- Notre stratégie pour prouver l'estimée de décorrélation ci-dessus est adaptable pour le modèle d'Anderson discret unidimensionnel aussi
- "Lower bound" en dimension 1 : Si u est un vecteur propre normalisé de $H_\omega(\lambda)$, il existe un sous-intervalle $J \subset \Lambda$ de taille $O(L^\beta)$ avec $\beta \in (1/2, 1)$ t.q.

$$|u(n)|^2 + |u(n+1)|^2 \geq e^{-L^\beta/2} \text{ pour tout } n \in J$$

Remarques

- Quelque soit le modèle aléatoire \mathbb{Z}^d – périodique en dimension d quelconque, (Loc), (W), (M) et (D) \implies l'indépendance asymptotique
- Notre stratégie pour prouver l'estimée de décorrélation ci-dessus est adaptable pour le modèle d'Anderson discret unidimensionnel aussi
- "Lower bound" en dimension 1 : Si u est un vecteur propre normalisé de $H_\omega(\Lambda)$, il existe un sous-intervalle $J \subset \Lambda$ de taille $O(L^\beta)$ avec $\beta \in (1/2, 1)$ t.q.

$$|u(n)|^2 + |u(n+1)|^2 \geq e^{-L^\beta/2} \text{ pour tout } n \in J$$

Opérateurs de Schrödinger périodique en dimension 1

Soit V un potentiel périodique et $-\Delta$ le Laplacien discret sur $\ell^2(\mathbb{Z})$. On définit l'opérateur de Schrödinger $H^{\mathbb{Z}} := -\Delta + V$ en dimension 1 :

$$(H^{\mathbb{Z}}u)(n) = u(n-1) + u(n+1) + V(n)u(n)$$

Ensuite, on définit l'opérateur $H^{\mathbb{N}} := -\Delta + V$ agissant sur $\ell^2(\mathbb{N})$ avec condition au bord de Dirichet en 0.

Soit $\Sigma_{\mathbb{Z}}$ le spectre de $H^{\mathbb{Z}}$ et $\Sigma_{\mathbb{N}}$ le spectre de $H^{\mathbb{N}}$.

- $\Sigma_{\mathbb{Z}} = \bigcup_{j=1}^q B_q$ avec $q \leq p$ et $B_q = [c_q, d_q]$; le spectre $\Sigma_{\mathbb{Z}}$ est absolument continu (a.c.).
- $\Sigma_{\mathbb{N}} = \Sigma_{\mathbb{Z}} \cup \{v_j\}_{j=1}^m$ où $\Sigma_{\mathbb{Z}}$ est le spectre a.c. de $H^{\mathbb{N}}$ et $\{v_j\}_{j=1}^m$ sont des valeurs propres simples associées à des vecteurs propres exponentiellement décroissants.

Opérateurs de Schrödinger périodique en dimension 1

Soit V un potentiel périodique et $-\Delta$ le Laplacien discret sur $\ell^2(\mathbb{Z})$. On définit l'opérateur de Schrödinger $H^{\mathbb{Z}} := -\Delta + V$ en dimension 1 :

$$(H^{\mathbb{Z}}u)(n) = u(n-1) + u(n+1) + V(n)u(n)$$

Ensuite, on définit l'opérateur $H^{\mathbb{N}} := -\Delta + V$ agissant sur $\ell^2(\mathbb{N})$ avec condition au bord de Dirichet en 0.

Soit $\Sigma_{\mathbb{Z}}$ le spectre de $H^{\mathbb{Z}}$ et $\Sigma_{\mathbb{N}}$ le spectre de $H^{\mathbb{N}}$.

- $\Sigma_{\mathbb{Z}} = \bigcup_{j=1}^q B_q$ avec $q \leq p$ et $B_q = [c_q, d_q]$; le spectre $\Sigma_{\mathbb{Z}}$ est absolument continu (a.c.).
- $\Sigma_{\mathbb{N}} = \Sigma_{\mathbb{Z}} \cup \{v_j\}_{j=1}^m$ où $\Sigma_{\mathbb{Z}}$ est le spectre a.c. de $H^{\mathbb{N}}$ et $\{v_j\}_{j=1}^m$ sont des valeurs propres simples associées à des vecteurs propres exponentiellement décroissants.



Opérateurs de Schrödinger périodique en dimension 1

Soit V un potentiel périodique et $-\Delta$ le Laplacien discret sur $\ell^2(\mathbb{Z})$. On définit l'opérateur de Schrödinger $H^{\mathbb{Z}} := -\Delta + V$ en dimension 1 :

$$(H^{\mathbb{Z}}u)(n) = u(n-1) + u(n+1) + V(n)u(n)$$

Ensuite, on définit l'opérateur $H^{\mathbb{N}} := -\Delta + V$ agissant sur $\ell^2(\mathbb{N})$ avec condition au bord de Dirichet en 0.

Soit $\Sigma_{\mathbb{Z}}$ le spectre de $H^{\mathbb{Z}}$ et $\Sigma_{\mathbb{N}}$ le spectre de $H^{\mathbb{N}}$.

- $\Sigma_{\mathbb{Z}} = \bigcup_{j=1}^q B_q$ avec $q \leq p$ et $B_q = [c_q, d_q]$; le spectre $\Sigma_{\mathbb{Z}}$ est absolument continu (a.c.).
- $\Sigma_{\mathbb{N}} = \Sigma_{\mathbb{Z}} \cup \{v_j\}_{j=1}^m$ où $\Sigma_{\mathbb{Z}}$ est le spectre a.c. de $H^{\mathbb{N}}$ et $\{v_j\}_{j=1}^m$ sont des valeurs propres simples associées à des vecteurs propres exponentiellement décroissants.

Opérateurs de Schrödinger périodique en dimension 1 (suite)

Soit L large, on définit :

$$H_L^{\mathbb{N}} := -\Delta + V \mathbb{1}_{[0,L]} \text{ sur } \ell^2(\mathbb{N}) \text{ avec condition au bord de Dirichlet en } 0$$

- $z \in \mathbb{C}^+ \mapsto (z - H_L^{\mathbb{N}})^{-1}$ est bien définie sur \mathbb{C}^+ . De plus, on peut démontrer que $(z - H_L^{\mathbb{N}})^{-1}$ admet un prolongement méromorphe de \mathbb{C}^+ à $\mathbb{C} \setminus ((-\infty, -2] \cup [2, +\infty))$. Les *résonances* de $H_L^{\mathbb{N}}$ sont alors définies comme étant les pôles du prolongement ci-dessus.
- Nous nous intéressons aux résonances de $H_L^{\mathbb{N}}$ dont les parties réelles sont près du bord de $\Sigma_{\mathbb{Z}}$ i.e., on cherche les résonances dans le domaine $I - i\mathbb{R}^+$ où l'intervalle compact I contient les points au bord de $\Sigma_{\mathbb{Z}}$ et la taille de I est petite.

Opérateurs de Schrödinger périodique en dimension 1 (suite)

Soit L large, on définit :

$$H_L^{\mathbb{N}} := -\Delta + V \mathbb{1}_{[0,L]} \text{ sur } \ell^2(\mathbb{N}) \text{ avec condition au bord de Dirichlet en } 0$$

- $z \in \mathbb{C}^+ \mapsto (z - H_L^{\mathbb{N}})^{-1}$ est bien définie sur \mathbb{C}^+ . De plus, on peut démontrer que $(z - H_L^{\mathbb{N}})^{-1}$ admet un prolongement méromorphe de \mathbb{C}^+ à $\mathbb{C} \setminus ((-\infty, -2] \cup [2, +\infty))$. Les **résonances** de $H_L^{\mathbb{N}}$ sont alors définies comme étant les pôles du prolongement ci-dessus.
- Nous nous intéressons aux résonances de $H_L^{\mathbb{N}}$ dont les parties réelles sont près du bord de $\Sigma_{\mathbb{Z}}$ i.e., on cherche les résonances dans le domaine $I - i\mathbb{R}^+$ où l'intervalle compact I contient les points au bord de $\Sigma_{\mathbb{Z}}$ et la taille de I est petite.

Opérateurs de Schrödinger périodique en dimension 1 (suite)

Soit L large, on définit :

$$H_L^{\mathbb{N}} := -\Delta + V \mathbb{1}_{[0,L]} \text{ sur } \ell^2(\mathbb{N}) \text{ avec condition au bord de Dirichlet en } 0$$

- $z \in \mathbb{C}^+ \mapsto (z - H_L^{\mathbb{N}})^{-1}$ est bien définie sur \mathbb{C}^+ . De plus, on peut démontrer que $(z - H_L^{\mathbb{N}})^{-1}$ admet un prolongement méromorphe de \mathbb{C}^+ à $\mathbb{C} \setminus ((-\infty, -2] \cup [2, +\infty))$. Les **résonances** de $H_L^{\mathbb{N}}$ sont alors définies comme étant les pôles du prolongement ci-dessus.
- Nous nous intéressons aux résonances de $H_L^{\mathbb{N}}$ dont les parties réelles sont près du bord de $\Sigma_{\mathbb{Z}}$ i.e., on cherche les résonances dans le domaine $I - i\mathbb{R}^+$ où l'intervalle compact I contient les points au bord de $\Sigma_{\mathbb{Z}}$ et la taille de I est petite.

Équation de résonance

Soit $L > 0$ et H_L l'opérateur $H_L^{\mathbb{N}}$ restreint sur l'intervalle $[0, L]$ avec les conditions au bord Dirichlet à L . On définit

- $(\lambda_k)_{0 \leq k \leq L}$ la suite croissante des valeurs propres de H_L .
- $a_k = |\varphi_k(L)|^2$ où $\varphi_k = (\varphi_k(n))_{0 \leq n \leq L}$ est un vecteur propre normalisé associé à λ_k .

Équation de résonance [Klopp'13] :

$$S_L(E) := \sum_{k=0}^L \frac{a_k}{\lambda_k - E} = -e^{-i\theta(E)}, \quad E = 2 \cos \theta(E),$$

où $\text{Im}\theta(E) > 0$ et $\text{Re}\theta(E) \in (-\pi, 0)$ quand $\text{Im}E > 0$.

Remarque : C'est les paramètres spectraux λ_k, a_k qui déterminent le comportement de résonances.

Équation de résonance

Soit $L > 0$ et H_L l'opérateur $H_L^{\mathbb{N}}$ restreint sur l'intervalle $[0, L]$ avec les conditions au bord Dirichlet à L . On définit

- $(\lambda_k)_{0 \leq k \leq L}$ la suite croissante des valeurs propres de H_L .
- $a_k = |\varphi_k(L)|^2$ où $\varphi_k = (\varphi_k(n))_{0 \leq n \leq L}$ est un vecteur propre normalisé associé à λ_k .

Équation de résonance [Klopp'13] :

$$S_L(E) := \sum_{k=0}^L \frac{a_k}{\lambda_k - E} = -e^{-i\theta(E)}, \quad E = 2 \cos \theta(E),$$

où $\text{Im}\theta(E) > 0$ et $\text{Re}\theta(E) \in (-\pi, 0)$ quand $\text{Im}E > 0$.

Remarque : C'est les paramètres spectraux λ_k, a_k qui déterminent le comportement de résonances.

Équation de résonance

Soit $L > 0$ et H_L l'opérateur $H_L^{\mathbb{N}}$ restreint sur l'intervalle $[0, L]$ avec les conditions au bord Dirichlet à L . On définit

- $(\lambda_k)_{0 \leq k \leq L}$ la suite croissante des valeurs propres de H_L .
- $a_k = |\varphi_k(L)|^2$ où $\varphi_k = (\varphi_k(n))_{0 \leq n \leq L}$ est un vecteur propre normalisé associé à λ_k .

Équation de résonance [Klopp'13] :

$$S_L(E) := \sum_{k=0}^L \frac{a_k}{\lambda_k - E} = -e^{-i\theta(E)}, \quad E = 2 \cos \theta(E),$$

où $\text{Im}\theta(E) > 0$ et $\text{Re}\theta(E) \in (-\pi, 0)$ quand $\text{Im}E > 0$.

Remarque : C'est les paramètres spectraux λ_k, a_k qui déterminent le comportement de résonances.

Résultats connus précédemment

L'équation de résonances a été étudiée intensivement par Klopp[Klopp '13]

- À l'extérieur du spectre $\Sigma_{\mathbb{N}}$, il existe une zone de taille constant qui ne contient pas de résonances
- À l'intérieur du spectre $\Sigma_{\mathbb{Z}}$, on obtient une zone de non résonances dont la largeur est de taille $\frac{1}{L}$
- Pour les résonances les plus proches de l'axe réel : Chaque valeur propre λ_k à l'intérieur de $\Sigma_{\mathbb{Z}}$ génère une unique résonance z_n et $|\text{Im}z_n| \asymp \frac{1}{L}$. De plus, on obtient une formule asymptotique pour z_n

Remarques :

- Tous résultats ci-dessus sont prouvés sous l'hypothèse que les parties réelles de résonances sont éloignées du bord du spectre $\Sigma_{\mathbb{Z}}$ et ± 2
- Nous voudrions compléter ces résultats en étudiant les résonances près du bord de $\Sigma_{\mathbb{Z}}$ mais loin de ± 2

Résultats connus précédemment

L'équation de résonances a été étudiée intensivement par Klopp[Klopp '13]

- À l'extérieur du spectre $\Sigma_{\mathbb{N}}$, il existe une zone de taille constant qui ne contient pas de résonances
- À l'intérieur du spectre $\Sigma_{\mathbb{Z}}$, on obtient une zone de non résonances dont la largeur est de taille $\frac{1}{L}$
- Pour les résonances les plus proches de l'axe réel : Chaque valeur propre λ_k à l'intérieur de $\Sigma_{\mathbb{Z}}$ génère une unique résonance z_n et $|\text{Im}z_n| \asymp \frac{1}{L}$. De plus, on obtient une formule asymptotique pour z_n

Remarques :

- Tous résultats ci-dessus sont prouvés sous l'hypothèse que les parties réelles de résonances sont éloignées du bord du spectre $\Sigma_{\mathbb{Z}}$ et ± 2
- Nous voudrions compléter ces résultats en étudiant les résonances près du bord de $\Sigma_{\mathbb{Z}}$ mais loin de ± 2

Résultats connus précédemment

L'équation de résonances a été étudiée intensivement par Klopp[Klopp '13]

- À l'extérieur du spectre $\Sigma_{\mathbb{N}}$, il existe une zone de taille constant qui ne contient pas de résonances
- À l'intérieur du spectre $\Sigma_{\mathbb{Z}}$, on obtient une zone de non résonances dont la largeur est de taille $\frac{1}{L}$
- Pour les résonances les plus proches de l'axe réel : Chaque valeur propre λ_k à l'intérieur de $\Sigma_{\mathbb{Z}}$ génère une unique résonance z_n et $|\text{Im}z_n| \asymp \frac{1}{L}$. De plus, on obtient une formule asymptotique pour z_n

Remarques :

- Tous résultats ci-dessus sont prouvés sous l'hypothèse que les parties réelles de résonances sont éloignées du bord du spectre $\Sigma_{\mathbb{Z}}$ et ± 2
- Nous voudrions compléter ces résultats en étudiant les résonances près du bord de $\Sigma_{\mathbb{Z}}$ mais loin de ± 2

Asymptotiques des paramètres spectraux

Numérotation locale : Soit $E_0 \in (-2, 2)$ l'extrémité gauche d'une bande B_i de $\Sigma_{\mathbb{Z}}$. On numérote les paramètres spectraux λ_k et a_k dans B_i comme $(\lambda_\ell^i)_\ell, (a_\ell^i)_\ell$ où $0 \leq \ell \leq n_i$.

Asymptotique de valeurs propres : $\lambda_n^i \asymp E_0 + \frac{(n+1)^2}{L^2}$ pour $\lambda_n^i \in B_i$ près de E_0 .

Asymptotique de a_k : Soit $a_n^i \asymp \frac{|\lambda_n^i - E_0|}{L}$ (cas générique) soit $a_n^i \asymp \frac{1}{L}$ (cas non-générique).

Étudions l'équation de résonance sur $[E_0, E_0 + \varepsilon^2] - i[0, \varepsilon^5]$ où $\varepsilon > 0$ est petit.

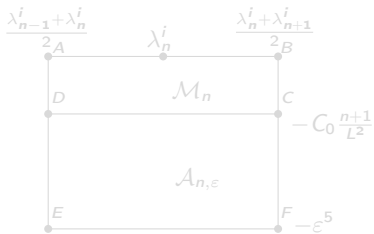


Figure: Rectangle $\mathcal{B}_{n,\varepsilon}$, cas générique

Asymptotiques des paramètres spectraux

Numérotation locale : Soit $E_0 \in (-2, 2)$ l'extrémité gauche d'une bande B_i de $\Sigma_{\mathbb{Z}}$. On numérote les paramètres spectraux λ_k et a_k dans B_i comme $(\lambda_\ell^i)_\ell, (a_\ell^i)_\ell$ où $0 \leq \ell \leq n_i$.

Asymptotique de valeurs propres : $\lambda_n^i \asymp E_0 + \frac{(n+1)^2}{L^2}$ pour $\lambda_n^i \in B_i$ près de E_0 .

Asymptotique de a_k : Soit $a_n^i \asymp \frac{|\lambda_n^i - E_0|}{L}$ (cas générique) soit $a_n^i \asymp \frac{1}{L}$ (cas non-générique).

Étudions l'équation de résonance sur $[E_0, E_0 + \varepsilon^2] - i[0, \varepsilon^5]$ où $\varepsilon > 0$ est petit.

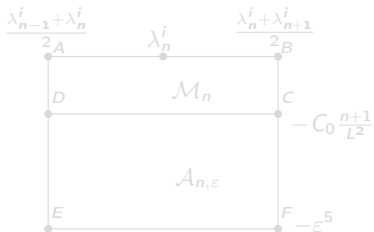


Figure: Rectangle $\mathcal{B}_{n,\varepsilon}$, cas générique

Asymptotiques des paramètres spectraux

Numérotation locale : Soit $E_0 \in (-2, 2)$ l'extrémité gauche d'une bande B_i de $\Sigma_{\mathbb{Z}}$. On numérote les paramètres spectraux λ_k et a_k dans B_i comme $(\lambda_\ell^i)_\ell, (a_\ell^i)_\ell$ où $0 \leq \ell \leq n_i$.

Asymptotique de valeurs propres : $\lambda_n^i \asymp E_0 + \frac{(n+1)^2}{L^2}$ pour $\lambda_n^i \in B_i$ près de E_0 .

Asymptotique de a_k : Soit $a_n^i \asymp \frac{|\lambda_n^i - E_0|}{L}$ (cas générique) soit $a_n^i \asymp \frac{1}{L}$ (cas non-générique).

Étudions l'équation de résonance sur $[E_0, E_0 + \varepsilon^2] - i[0, \varepsilon^5]$ où $\varepsilon > 0$ est petit.

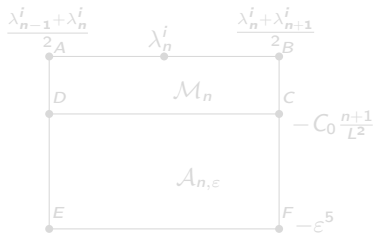


Figure: Rectangle $\mathcal{B}_{n,\varepsilon}$, cas générique

Asymptotiques des paramètres spectraux

Numérotation locale : Soit $E_0 \in (-2, 2)$ l'extrémité gauche d'une bande B_i de $\Sigma_{\mathbb{Z}}$. On numérote les paramètres spectraux λ_k et a_k dans B_i comme $(\lambda_\ell^i)_\ell, (a_\ell^i)_\ell$ où $0 \leq \ell \leq n_i$.

Asymptotique de valeurs propres : $\lambda_n^i \asymp E_0 + \frac{(n+1)^2}{L^2}$ pour $\lambda_n^i \in B_i$ près de E_0 .

Asymptotique de a_k : Soit $a_n^i \asymp \frac{|\lambda_n^i - E_0|}{L}$ (cas générique) soit $a_n^i \asymp \frac{1}{L}$ (cas non-générique).

Étudions l'équation de résonance sur $[E_0, E_0 + \varepsilon^2] - i[0, \varepsilon^5]$ où $\varepsilon > 0$ est petit.

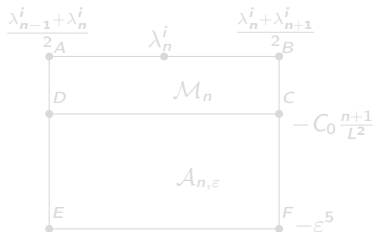


Figure: Rectangle $\mathcal{B}_{n,\varepsilon}$, cas générique

Asymptotiques des paramètres spectraux

Numérotation locale : Soit $E_0 \in (-2, 2)$ l'extrémité gauche d'une bande B_i de $\Sigma_{\mathbb{Z}}$. On numérote les paramètres spectraux λ_k et a_k dans B_i comme $(\lambda_\ell^i)_\ell, (a_\ell^i)_\ell$ où $0 \leq \ell \leq n_i$.

Asymptotique de valeurs propres : $\lambda_n^i \asymp E_0 + \frac{(n+1)^2}{L^2}$ pour $\lambda_n^i \in B_i$ près de E_0 .

Asymptotique de a_k : Soit $a_n^i \asymp \frac{|\lambda_n^i - E_0|}{L}$ (cas générique) soit $a_n^i \asymp \frac{1}{L}$ (cas non-générique).

Étudions l'équation de résonance sur $[E_0, E_0 + \varepsilon^2] - i[0, \varepsilon^5]$ où $\varepsilon > 0$ est petit.

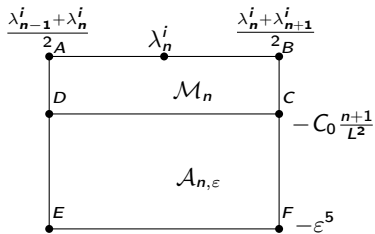


Figure: Rectangle $\mathcal{B}_{n, \varepsilon}$, cas générique



Résonances en dessous de $\Sigma_{\mathbb{Z}}$

Théorème [P. '15]

- 1 Pour chaque valeur propre $\lambda_n^i \in I$ de H_L , il y a une et une seule résonance z_n dans $\mathcal{B}_{n,\varepsilon}$ avec la convention $\lambda_{-1}^i := 2E_0 - \lambda_0$. De plus, $z_n \in \mathcal{M}_n$ et il n'y a pas de résonances dans le rectangle $[E_0 - \varepsilon, E_0] - i [0, C_0 \frac{n+1}{L^2}]$.
- 2 On définit $S_{n,L}^i(E) = S_L(E) - \frac{a_n^i}{\lambda_n^i - E}$ et $\alpha_n = S_{n,L}^i(\lambda_n^i) + e^{-i\theta(\lambda_n^i)}$. Alors, il existe $c_0 > 0$ t.q. $c_0 \leq |\alpha_n| \lesssim \frac{1}{\varepsilon^2}$ et

$$z_n = \lambda_n^i + \frac{a_n^i}{\alpha_n} + O\left(\frac{(n+1)^4}{L^5 |\alpha_n|^3}\right)$$

- 3 $\text{Im} z_n$ satisfait

$$\text{Im} z_n = \frac{a_n^i \sin(\theta(\lambda_n^i))}{|\alpha_n|^2} + O\left(\frac{(n+1)^4}{L^5 |\alpha_n|^3}\right)$$

Par conséquent, il existe une constante $C > 0$ t.q.

$$\frac{\varepsilon^4 (n+1)^2}{CL^3} \leq |\text{Im} z_n| \leq C \frac{(n+1)^2}{L^3}.$$



Résonances en dessous de $\mathbb{R} \setminus \Sigma_{\mathbb{N}}$

- Rappelons que $\Sigma_{\mathbb{N}}$ est la réunion de $\Sigma_{\mathbb{Z}}$ et l'ensemble fini de valeurs propres simples isolées de $H^{\mathbb{N}}$.

Théorème [P. '15]

Soit $E_0 \in (-2, 2)$ l'extrémité gauche d'une bande B_i de $\Sigma_{\mathbb{Z}}$. Soit $L \in \mathbb{N}^*$ large. Alors, $H_L^{\mathbb{N}}$ n'a pas de résonances dans le rectangle $[E_0 - \varepsilon, E_0] - i[0, \varepsilon^5]$ quand ε est suffisamment petit.

Idée principale de preuves :

- Comportement générique de paramètres spectraux $\implies |\operatorname{Im} S_L(E)|$ est petit si $|\operatorname{Im} E|$ n'est pas trop petit \implies **pas de résonances**
- Dans le domaine près de λ_n^i , approximer $S_L(E)$ en gardant le terme $\frac{a_n^i}{\lambda_n^i - E}$ et remplaçant les autres par $\sum_{\ell \neq k} \frac{a_\ell}{\lambda_\ell - \lambda_n^i}$. Ensuite, nous nous servons le théorème de Rouché pour décrire les résonances
- Pour obtenir la formule asymptotique de résonances, il est crucial d'étudier la régularité des paramètres spectraux.



Résonances en dessous de $\mathbb{R} \setminus \Sigma_{\mathbb{N}}$

- Rappelons que $\Sigma_{\mathbb{N}}$ est la réunion de $\Sigma_{\mathbb{Z}}$ et l'ensemble fini de valeurs propres simples isolées de $H^{\mathbb{N}}$.

Théorème [P. '15]

Soit $E_0 \in (-2, 2)$ l'extrémité gauche d'une bande B_i de $\Sigma_{\mathbb{Z}}$. Soit $L \in \mathbb{N}^*$ large. Alors, $H_L^{\mathbb{N}}$ n'a pas de résonances dans le rectangle $[E_0 - \varepsilon, E_0] - i[0, \varepsilon^5]$ quand ε est suffisamment petit.

Idée principale de preuves :

- Comportement générique de paramètres spectraux $\implies |\operatorname{Im} S_L(E)|$ est petit si $|\operatorname{Im} E|$ n'est pas trop petit \implies **pas de résonances**
- Dans le domaine près de λ_n^i , approximer $S_L(E)$ en gardant le terme $\frac{a_n^i}{\lambda_n^i - E}$ et remplaçant les autres par $\sum_{\ell \neq k} \frac{a_\ell}{\lambda_\ell - \lambda_n^i}$. Ensuite, nous nous servons le théorème de Rouché pour décrire les résonances
- Pour obtenir la formule asymptotique de résonances, il est crucial d'étudier la régularité des paramètres spectraux.



Résonances en dessous de $\mathbb{R} \setminus \Sigma_{\mathbb{N}}$

- Rappelons que $\Sigma_{\mathbb{N}}$ est la réunion de $\Sigma_{\mathbb{Z}}$ et l'ensemble fini de valeurs propres simples isolées de $H^{\mathbb{N}}$.

Théorème [P. '15]

Soit $E_0 \in (-2, 2)$ l'extrémité gauche d'une bande B_i de $\Sigma_{\mathbb{Z}}$. Soit $L \in \mathbb{N}^*$ large. Alors, $H_L^{\mathbb{N}}$ n'a pas de résonances dans le rectangle $[E_0 - \varepsilon, E_0] - i[0, \varepsilon^5]$ quand ε est suffisamment petit.

Idée principale de preuves :

- Comportement générique de paramètres spectraux $\implies |\operatorname{Im} S_L(E)|$ est petit si $|\operatorname{Im} E|$ n'est pas trop petit \implies **pas de résonances**
- Dans le domaine près de λ_n^i , approximer $S_L(E)$ en gardant le terme $\frac{a_n^i}{\lambda_n^i - E}$ et remplaçant les autres par $\sum_{\ell \neq k} \frac{a_\ell}{\lambda_\ell - \lambda_n^i}$. Ensuite, nous nous servons le théorème de Rouché pour décrire les résonances
- Pour obtenir la formule asymptotique de résonances, il est crucial d'étudier la régularité des paramètres spectraux.



Résonances en dessous de $\mathbb{R} \setminus \Sigma_{\mathbb{N}}$

- Rappelons que $\Sigma_{\mathbb{N}}$ est la réunion de $\Sigma_{\mathbb{Z}}$ et l'ensemble fini de valeurs propres simples isolées de $H^{\mathbb{N}}$.

Théorème [P. '15]

Soit $E_0 \in (-2, 2)$ l'extrémité gauche d'une bande B_i de $\Sigma_{\mathbb{Z}}$. Soit $L \in \mathbb{N}^*$ large. Alors, $H_L^{\mathbb{N}}$ n'a pas de résonances dans le rectangle $[E_0 - \varepsilon, E_0] - i[0, \varepsilon^5]$ quand ε est suffisamment petit.

Idée principale de preuves :

- Comportement générique de paramètres spectraux $\implies |\operatorname{Im} S_L(E)|$ est petit si $|\operatorname{Im} E|$ n'est pas trop petit \implies **pas de résonances**
- Dans le domaine près de λ_n^i , approximer $S_L(E)$ en gardant le terme $\frac{a_n^i}{\lambda_n^i - E}$ et remplaçant les autres par $\sum_{\ell \neq k} \frac{a_\ell}{\lambda_\ell - \lambda_n^i}$. Ensuite, nous nous servons le théorème de Rouché pour décrire les résonances
- Pour obtenir la formule asymptotique de résonances, il est crucial d'étudier la régularité des paramètres spectraux.



Résonances en dessous de $\mathbb{R} \setminus \Sigma_{\mathbb{N}}$

- Rappelons que $\Sigma_{\mathbb{N}}$ est la réunion de $\Sigma_{\mathbb{Z}}$ et l'ensemble fini de valeurs propres simples isolées de $H^{\mathbb{N}}$.

Théorème [P. '15]

Soit $E_0 \in (-2, 2)$ l'extrémité gauche d'une bande B_i de $\Sigma_{\mathbb{Z}}$. Soit $L \in \mathbb{N}^*$ large. Alors, $H_L^{\mathbb{N}}$ n'a pas de résonances dans le rectangle $[E_0 - \varepsilon, E_0] - i[0, \varepsilon^5]$ quand ε est suffisamment petit.

Idée principale de preuves :

- Comportement générique de paramètres spectraux $\implies |\operatorname{Im} S_L(E)|$ est petit si $|\operatorname{Im} E|$ n'est pas trop petit \implies **pas de résonances**
- Dans le domaine près de λ_n^i , approximer $S_L(E)$ en gardant le terme $\frac{a_n^i}{\lambda_n^i - E}$ et remplaçant les autres par $\sum_{\ell \neq k} \frac{a_\ell}{\lambda_\ell - \lambda_n^i}$. Ensuite, nous nous servons le théorème de Rouché pour décrire les résonances
- Pour obtenir la formule asymptotique de résonances, il est crucial d'étudier la régularité des paramètres spectraux.



Équation de résonances rééchelonnées

- Rappelons que $a_n \asymp \frac{1}{L}$ dans le cas non-générique
- En posant $z = L^2(E - E_0)$, $\tilde{a}_k = La_k$ et $\tilde{\lambda}_k = L^2(\lambda_k - E_0)$, l'équation de résonances peut s'écrire comme

$$f_L(z) := \sum_{k=0}^L \frac{\tilde{a}_k}{\tilde{\lambda}_k - z} = -\frac{1}{L} e^{-i\theta} \left(E_0 + \frac{z}{L^2} \right)$$

- Soit $(\lambda_\ell^i)_\ell$ les valeurs propres de H_L dans la bande $B_i = [E_0, E_1] \subset \Sigma_{\mathbb{Z}}$.
Nous étudions les résonances rééchelonnées dans $\mathcal{D}_n^i = [\tilde{\lambda}_n^i, \tilde{\lambda}_{n+1}^i] - i[0, \varepsilon^5 L^2]$ avec $0 \leq n \lesssim \varepsilon L$ et $\mathcal{R}^i = [0, \tilde{\lambda}_0^i] - i[0, \varepsilon^5 L^2]$



Équation de résonances rééchelonnées

- Rappelons que $a_n \asymp \frac{1}{L}$ dans le cas non-générique
- En posant $z = L^2(E - E_0)$, $\tilde{a}_k = La_k$ et $\tilde{\lambda}_k = L^2(\lambda_k - E_0)$, l'équation de résonances peut s'écrire comme

$$f_L(z) := \sum_{k=0}^L \frac{\tilde{a}_k}{\tilde{\lambda}_k - z} = -\frac{1}{L} e^{-i\theta} \left(E_0 + \frac{z}{L^2} \right)$$

- Soit $(\lambda_\ell^i)_\ell$ les valeurs propres de H_L dans la bande $B_i = [E_0, E_1] \subset \Sigma_{\mathbb{Z}}$.
Nous étudions les résonances rééchelonnées dans $\mathcal{D}_n^i = [\tilde{\lambda}_n^i, \tilde{\lambda}_{n+1}^i] - i[0, \varepsilon^5 L^2]$ avec $0 \leq n \lesssim \varepsilon L$ et $\mathcal{R}^i = [0, \tilde{\lambda}_0^i] - i[0, \varepsilon^5 L^2]$



Équation de résonances rééchelonnées

- Rappelons que $a_n \asymp \frac{1}{L}$ dans le cas non-générique
- En posant $z = L^2(E - E_0)$, $\tilde{a}_k = La_k$ et $\tilde{\lambda}_k = L^2(\lambda_k - E_0)$, l'équation de résonances peut s'écrire comme

$$f_L(z) := \sum_{k=0}^L \frac{\tilde{a}_k}{\tilde{\lambda}_k - z} = -\frac{1}{L} e^{-i\theta} \left(E_0 + \frac{z}{L^2} \right)$$

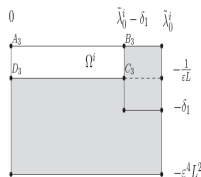
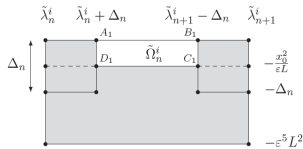
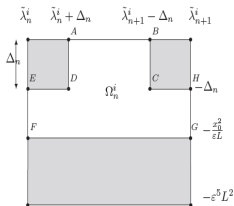
- Soit $(\lambda_\ell^i)_\ell$ les valeurs propres de H_L dans la bande $B_i = [E_0, E_1] \subset \Sigma_{\mathbb{Z}}$.
Nous étudions les résonances rééchelonnées dans $\mathcal{D}_n^i = [\tilde{\lambda}_n^i, \tilde{\lambda}_{n+1}^i] - i[0, \varepsilon^5 L^2]$ avec $0 \leq n \lesssim \varepsilon L$ et $\mathcal{R}^i = [0, \tilde{\lambda}_0^i] - i[0, \varepsilon^5 L^2]$

Zones de non résonances

Près de pôles Près de $\tilde{\lambda}_n^i$, $|f_L(z)|$ devient trop grand \implies pas de résonances

Loin de l'axe réel Si $|\operatorname{Im}z|$ n'est pas trop petit, $|\operatorname{Im}f_L(z)|$ devient grand \implies pas de résonances

Posons $\Delta_n = \frac{(n+1)}{\kappa(\ln(n+1)+1)}$ où $\kappa > 0$ est grand et $x_0 = L^2(\lambda_{n+1}^i - \lambda_n^i)$.

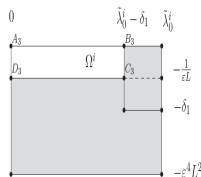
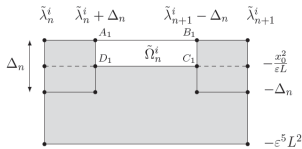
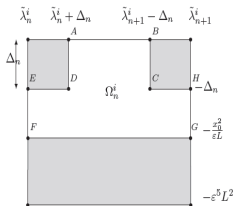


Zones de non résonances

Près de pôles Près de $\tilde{\lambda}_n^i$, $|f_L(z)|$ devient trop grand \implies pas de résonances

Loin de l'axe réel Si $|\operatorname{Im}z|$ n'est pas trop petit, $|\operatorname{Im}f_L(z)|$ devient grand \implies pas de résonances

Posons $\Delta_n = \frac{(n+1)}{\kappa(\ln(n+1)+1)}$ où $\kappa > 0$ est grand et $x_0 = L^2(\lambda_{n+1}^i - \lambda_n^i)$.



Existence de résonances

Premier cas : Supposons que $n > \frac{\eta L}{\ln L}$ avec $\eta > 0$ petit

Théorème [P. '15]

- Il existe au moins une résonance rééchelonnée dans Ω_n^i .
- Si $-\frac{1}{L}e^{-i\theta(E_0)}$ appartient au $A'B'C'D' = f_L(ABCD)$ où $ABCD = [\tilde{\lambda}_n^i + \Delta_n, \tilde{\lambda}_{n+1}^i - \Delta_n] - i[0, \Delta_n]$, il existe une et une seule résonance rééchelonnée z_n dans Ω_n^i et

$$|\operatorname{Im} z_n| \leq \Delta_n = \frac{n}{\kappa \ln n} \asymp \frac{n}{\kappa \ln L} \lesssim \frac{n^2}{\varepsilon L}$$

Deuxième cas : $\Delta_n \geq \frac{x_0^2}{\varepsilon L} \Leftrightarrow n < \frac{\eta L}{\ln L}$ avec $\eta > 0$ petit

Théorème [P. '15]

f_L est une bijection de $\tilde{\Omega}_n^i$ sur $f_L(\tilde{\Omega}_n^i)$ et $|f_L'(z)| \gtrsim \frac{1}{n^2}$. De plus, il existe une et une seule résonance rééchelonnée \tilde{z}_n in $\tilde{\Omega}_n^i$ et $|\operatorname{Im} \tilde{z}_n| \lesssim \frac{n^2}{\varepsilon L}$.

Questions ouvertes

- L'étude de résonances de l'opérateur discret associé à un potentiel périodique sur la droite entière est une question que nous poursuivons après cette thèse. Dans ce cas là, les valeurs de $|\varphi_k(L)|^2$ et $|\varphi_k(0)|^2$ vont jouer un rôle crucial.
- Nous voulons également voir ce qui se passe pour les résonances loins du bord du spectre $\Sigma_{\mathbb{Z}}$ mais près les points ± 2 . Notons que, quand on est loin du bord de $\Sigma_{\mathbb{Z}}$, notre méthode ne fonctionne pas. Dans ce cas là, il faut utiliser et améliorer la méthode introduite par Klopp.
- Considérer le cas où $\pm 2 \in \partial \Sigma_{\mathbb{Z}}$.
- Quant à la première partie de ma thèse, malgré notre effort, une estimée de décorrélation pour les modèles discrets en dimension supérieure reste encore un défi.



MERCI POUR VOTRE ATTENTION !